# Bis(1-cyclohexen-3-on-1-oxy)silane, Silyl-enole von $\beta$ -Ketonen

Bis (1-cyclohexene-3-on-1-oxy)silanes, Silyl-enoles of  $\beta$ -Ketones

Wibke Dietz, Yvonne Schwerdtfeger, Uwe Klingebiel und Mathias Noltemeyer

Institut für Anorganische Chemie der Universität Göttingen, Tammannstraße 4, D-37077 Göttingen, Germany

Reprint requests to Prof. Dr. U. Klingebiel. Fax: +49(0)551 39-3373. E-mail: uklinge@gwdg.de

Z. Naturforsch. 2007, 62b, 1371 – 1376; received July 13, 2007

5,5-Dimethylcyclohexane-1,3-dione (dimedone) and cyclohexane-1,3-dione react with  $Cl_2Si(CMe_3)_2$  in the presence of triethylamine to give the bis(1-cyclohexene-3-on-1-oxy)di<sup>t</sup> butylsilanes **2** and **3**. Using dimedone and  $Cl_2SiMe_2$ , the analogous dimethylsilane **1** is obtained. A 1,4-Michael-Addition occurs using cyclohexane-1,3-dione in the reaction with  $Cl_2SiMe_2$  to give a spirocyclic diketone (**4**). The reaction of cyclohexane-1,3-dione with lithium-diisopropylamide and  $F_3SiCMe_3$  leads to the formation of a salt  $[^iPr_2NH_2]_2HF[C_6H_7O_2]_2$ , **5**. The crystal structures of **2**-**5** were determined.

Key words: Silylenole, Cyclohexane-1,3-dione, Spirocyclic Diketone

## **Einleitung**

Durch die Polarisierung der Kohlenstoff-Sauerstoff-Bindung besitzen Ketone zwei Reaktionszentren, das partiell negativ geladene Sauerstoff- und das leicht positiv geladene Kohlenstoffatom. Die Carbonylgruppe weist dabei ein großes Dipolmoment auf ( $ca.9\times10^{-3}$  cm). Wasserstoffatome, an einem  $\alpha$ -Kohlenstoffatom gebunden, sind durch die benachbarte Carbonylgruppe stark acid, ihre pKa-Werte liegen zwischen 19 und 21. Der Austritt eines  $\alpha$ -Protons führt zu EnolatIonen. Diese Keto-Enol-Tautomerie spielt bei Reaktionen von Carbonylverbindungen eine entscheidende Rolle. In einfachen Carbonylverbindungen liegt das Gleichgewicht stark auf der Seite der Ketone (Tab. 1). Der Enolgehalt des Acetons beträgt beispielsweise nur  $2.5\times10^{-4}$ %.

Die Energiedifferenz zwischen Enol und Keton beträgt ca. 100 kJ mol<sup>-1</sup>. Die Keto-Form ist somit die thermodynamisch stabilere Form. Die Enol-Formen der einfachen Carbonylverbindungen können daher normalerweise nicht isoliert werden [1]. Steht die Enol-Doppelbindung jedoch in Konjugation mit einer weiteren Doppelbindung, so wird die Enol-Form stabilisiert. 1,3-Dicarbonylverbindungen ( $\beta$ -Dicarbonyle) enthalten größere Mengen an Enol. So liegt Dimedon (5,5-Dimethylcyclohexan-1,3-dion) zu 33 % in seiner Enol-Form vor [2].

Enol		Keton	
C-O	360	C=O	750
O–H	460	C-H	410
C=C	590	C-C	350
gesamt:	1410	gesamt:	1510

Tab. 1. Bindungsenthalpien [kJ mol<sup>-1</sup>] der Ketone und Enole.

Erst Mitte des letzten Jahrhunderts wurden Reaktionen von Tri(alkyl)chlorsilanen mit Carbonylverbindungen durchgeführt und die Bildung von Silylenolen IR- sowie NMR-spektroskopisch nachgewiesen. Die Stabilität der Si-O-Bindung verschiebt die Gleichgewichte auf die Seite der Enole.

Silyl-enole haben in der organischen Synthese breite Anwendung gefunden [3]. Zum Beispiel dienen sie zum Aufbau von Kohlenstoff-Kohlenstoff-Bindungen über Alkylierung, Adolreaktion, Claisen- und Knoevenagel-Kondensation, Michael-Addition und eine Reihe ähnlicher Reaktionen [4, 5].

In der Literatur findet man chlor-, alkoxy- und amino-funktionelle Silyl-enole [6]. Wir stellten kürzlich fluorfunktionelle Silyl-enole dar und zeigten deren Verwendung zur Synthese von Bis- und Tris(enol)-silanen [7]. In der vorliegenden Arbeit berichten wir über die Herstellung von Silyl-enolen der  $\beta$ -Diketone Dimedon (5,5-Dimethylcyclohexan-1,3-dion) und Cyclohexan-1,3-dion, zeigen eine Michael-Addition zu einem spirocyclischem Diketon und präsentieren die Kristallstruktur eines Dialkyl-ammonium-1,3-cyclohexenolats, das unter Einschluss

0932-0776 / 07 / 1100-1371 \$ 06.00 © 2007 Verlag der Zeitschrift für Naturforschung, Tübingen ∙ http://znaturforsch.com

von HF ein Dimeres bildet. 4 entsteht durch Hydrolyse des eingesetzten Fluorsilans.

# **Ergebnisse und Diskussion**

Synthese von Bis(1-cyclohexen-3-on-1-oxy)dialkyl silanen

Dimedon zeigt ein Keto-Enol-Gleichgewicht mit Anteilen der Komponenten von etwa 3:1.

Im festen Zustand kristallisiert das Dimedon in der Enol-Form. Die beiden Formen können bei Raumtemperatur nicht voneinander getrennt werden. In Reaktionen des Dimedons mit Chlorsilanen in Gegenwart von Aminen als HCl-Fänger [8] oder des lithiierten Dimedons mit Fluorsilanen entstehen jedoch Silyl-enole. Bei Ansätzen im molaren Verhältnis 2:1 isolierten wir die Bis(1-cyclohexen-3-on-1-oxy) dialkylsilane 1 und 2 (Gl. 1).

HO HO 
$$+ E_{l_3}N$$
  $+ \frac{1/2}{1/2} R_2 SiCl_2$   $+ \frac{1/2}{1/2} R_2 SiCl_2$ 

In der Reaktion von Cyclohexan-1,3-dion mit Di*tert*-butyldichlorsilan entsteht ebenfalls das Bis(1-cyclohexen-3-on-1-oxy)-dialkylsilan **3** (Gl. 2).

In der analogen Umsetzung des Cyclohexen-1,3dions mit Me<sub>2</sub>SiCl<sub>2</sub> wird das spirocyclische Keton **4** gebildet (Gl. 3).

Der Reaktionsmechanismus folgt einer 1,4-Michael-Addition zweier Enole und ihrer zweifachen Silylierung. Verbindung 4 ist chiral. NMR-spektroskopisch wurde nur ein Isomer als Recemat gefunden.

Bei der Umsetzung des Li-enolats von Cyclohexen-1,3-dion mit <sup>t</sup>BuSiF<sub>3</sub> entstand durch partielle Hydrolyse das Produkt **5**.

Kristallstrukturen

Die Silyl-enole 2 und 3

Die Verbindungen **2** und **3** wurden aus *n*-Hexan bzw. THF in röntgentauglichen Kristallen erhalten (Abb. 1, 2).

Die kurze Si-O-Bindung in 2 bewirkt eine Verkürzung der benachbarten C-O-Einfachbindung auf ca. 135 pm (berechneter Wert: 143 pm). Bei den Bindungen C(3)–C(10) und C(14)–C(15) handelt es sich um C=C Doppelbindungen (133 pm). Die benachbarte C-C-Einfachbindung wird mit ca. 145 pm gemessen. Die C-O-Si-Winkel sind deutlich aufgeweitet und betragen 138 bzw. fast 140°. Die Winkel innerhalb der beiden Ringe lassen dieselbe Tendenz wie beim Dimedon erkennen. Nahe der Doppelbindung betragen sie innerhalb des Rings ca. 120° und sinken bis zu einem ungefähren Wert des Tetraederwinkels bei C(5). In der Packung sind die Moleküle über Wasserstoffbrücken zwischen dem Sauerstoffatom der Carbonylgruppe und einem Wasserstoffatom der tert-Butylgruppe eines anderen Moleküls verbunden.

Die Kristallstruktur der Verbindung 3 ist ähnlich, da sich das Molekül lediglich durch die fehlen-

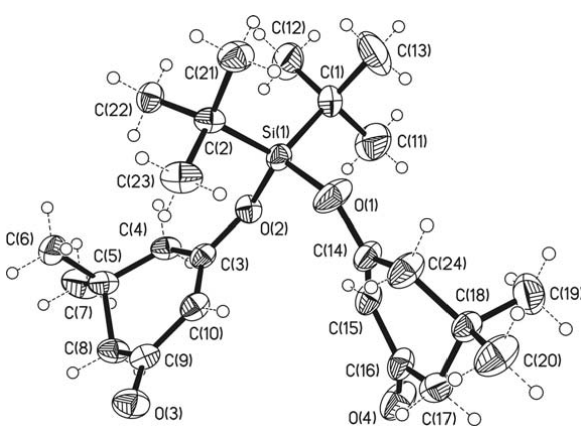


Abb. 1. Molekülstruktur der Verbindung **2.** Ausgewählte Bindungslängen [pm] und -winkel [ $^{\circ}$ ]: Si(1)–O(2) 164,9(1), Si(1)–O(1) 165,6(2), O(2)–C(3) 135,7(2), O(1)–C(14) 134,8(2), C(3)–C(10) 133,0(3), C(14)–C(15) 133,2(3), C(10)–C(9) 146,0(3), C(15)–C(16) 144,6(3), O(3)–C(9) 122,2(2), O(4)–C(16) 122,0(2); C(3)–O(2)–Si(1)139,7(1) C(3)–C(10)–C(9) 121,2(2), C(8)–C(5)–C(4) 108,5(2), C(8)–C(5)–C(7) 109,9(2), C(8)–C(5)–C(6) 109,5(2).

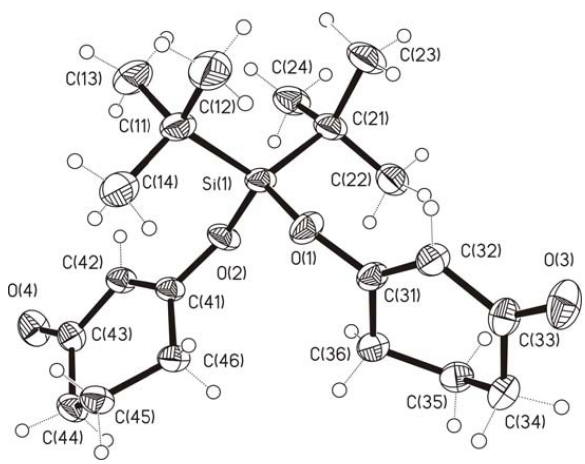


Abb. 2. Molekülstruktur der Verbindung 3. Ausgewählte Bindungslängen [pm] und -winkel [ $^{\circ}$ ]: Si(1)–O(2) 164,4(1), O(1)–C(31) 135,3(2), C(31)–C(32) 133,5(2), C(32)–C(33) 145,3(2), O(3)–C(33) 122,0(2); C(31)–O(1)–Si(1) 138,6(1), C(36)–C(31)–C(32) 123,5(1), C(31)–C(32)–C(33) 121,8(1), C(36)–C(35)–C(34) 111,1(1).

den Methylgruppen von Verbindung **2** unterscheidet (Abb. 2).

Die Si-O-Bindung der Verbindung **3** ist wie in **2** recht kurz und die benachbarte C-O-Bindung wird mit 135 pm gemessen. Die Bindungslängen C(41)-C(42) und C(31)-C(32) liegen wieder im Bereich von C=C-Doppelbindungen.

Die Winkel innerhalb der Ringe weisen aufgrund der Doppelbindung Werte nahe  $120^{\circ}$  auf. Sie sin-

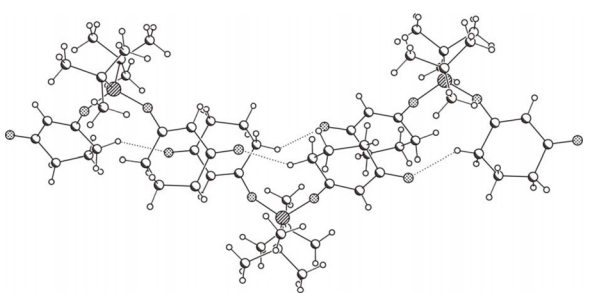


Abb. 3. Packungsplot der Verbindung 3.

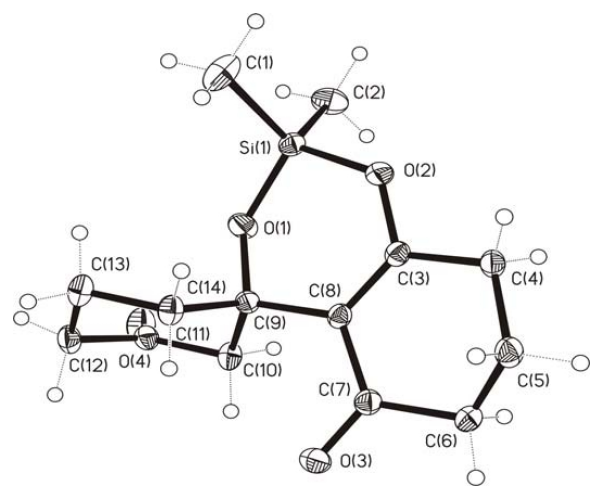


Abb. 4. Molekülstruktur der Verbindung 4. Ausgewählte Bindungslängen [pm] und -winkel [°]: Si(1)–O(2) 167,3(1), O(2)-C(3)Si(1)-O(1)163,1(1), 135,5(2), O(1)-C(9)144,7(2), C(3)-C(8)136,2(2), C(9)-C(10)153.9(2). C(8)-C(7) 147,7(2), C(10)-C(11) 151,4(2), O(3)-C(7)123,1(2), O(4)-C(11)22,0(2), C(8)-C(9)153.3(2): 123,9(9), C(3)-O(2)-Si(1)C(9)-O(1)-Si(1)126,3(8), C(14)-C(9)-C(10) 109,9(1), C(8)-C(3)-C(4)125,4(1). C(9)-C(10)-C(11) 109,9(1), C(3)-C(8)-C(7) 117,9(1), C(12)-C(13)-C(14) 111,9(1), C(4)-C(5)-C(6) 109,7(1).

ken bis zu einem Wert von  $111^{\circ}$  und  $110^{\circ}$  bei C(35) bzw. C(45).

Die einzelnen Moleküle sind über Wasserstoffbrücken miteinander verbunden. Die Bindung entsteht über ein Sauerstoffatom der Carbonylgruppe des einen Moleküls mit einem Wasserstoffatom einer CH<sub>2</sub>-Gruppe des anderen Moleküls (Abb. 3).

# Das spirocyclische Diketon 4

Die Verbindung 4 kristallisiert aus n-Hexan in der monoklinen Raumgruppe  $P2_1/n$ , (Z=4). Die Struktur ist in Abb. 4 wiedergegeben.

Im Kristall der Verbindung 4 sind die Moleküle durch Wasserstoffbrücken, die zwischen dem

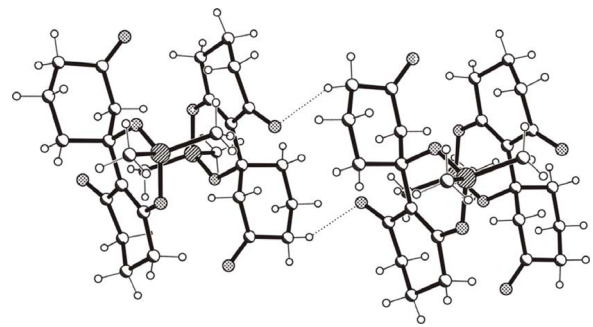


Abb. 5. Packungsplot der Verbindung 4.

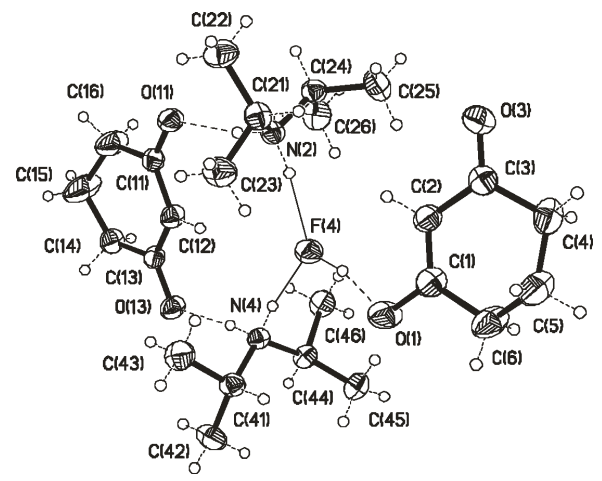


Abb. 6. Kristallstruktur der Verbindung 5. Ausgewählte Bindungslängen [pm] und -winkel [ $^{\circ}$ ]: O(1)–C(1) 133,9(2), 123,3(2), C(1)–C(2) 134,5(3), C(1)–C(6)144,6(3), 149,3(3), C(2)-C(3)C(5)-C(6)152,4(3). O(11)-C(11) 127,0(2), O(13)-C(13) 126,8(2), C(11)-C(12) 138,9(3), C(11)-C(16) 151,0(3), C(14)-C(15) 146,9(3), C(15)-C(16) 143,4(3), N(2)-C(21) 150,6(2), N(4)-C(41)149,9(2); O(1)-C(1)-C(2)123,7(2), O(1)-C(1)-C(6)113,8(2), C(2)-C(1)-C(6)122,5(2), O(3)-C(3)-C(2)121,9(2), C(2)-C(3)-C(4)117,0(2), C(3)-C(4)-C(5)O(11)-C(11)-C(12) 123,7(2), O(11)-C(11)-C(16) 118,1(2), C(12)-C(11)-C(16) 118,2(2), C(11)-C(12)-C(13)124,1(2), O(13)–C(13)–C(12) O(13)-C(13)-C(14) 117,6(2), C(15)-C(14)-C(13) 115,0(2), C(21)-N(2)-C(24) 117,5(1), N(2)-C(21)-C(22) 111,1(2).

Carbonylsauerstoffatom eines Moleküls mit dem Wasserstoffatom einer CH<sub>2</sub>-Gruppe eines anderen Moleküls ausgebildet werden, miteinander verknüpft (Abb. 5).

Kristallstruktur des 1:2-Fluorwasserstoff-Addukts von  $[^{i}Pr_{2}NH_{2}]^{+}[C_{6}H_{7}O_{2}]^{-}$ 

Verbindung **5** kristallisiert in der monoklinen Raumgruppe  $P2_1/c$  (Z = 4).

Wie in Abb. 6 zu erkennen ist, liegen als Einheit zwei Dialkylammonium-Kationen und zwei Enolat-Anionen zusammen mit einem HF-Molekül vor. Im Molekülverbund sind zwei Wasserstoffbrücken zwischen dem Fluoratom des Fluorwasserstoffs und je einem Wasserstoffatom der Diisopropylammonium-Kationen ausgebildet. Das Enolat-Anion A ist über zwei Wasserstoffbrücken an beide Ammonium-Kationen koordiniert. B bildet nur eine Brücke zum Fluorwasserstoffmolekül aus. Bei B ist die Doppelbindung zwischen C(1) und C(2) lokalisiert. Das Sauerstoffatom O(3) ist über eine Doppelbindung am Kohlenstoffatom C(3) gebunden. Die negative Ladung befindet sich am Sauerstoffatom O(1). Im Anion A sind die Abstände C(11)-O(11) und C(13)-O(13) fast gleich, die negative Ladung ist delokalisiert.

### **Experimenteller Teil**

Die Reaktionen wurden in einer Inertgasatmosphäre durchgeführt. Die Reinheit der dargestellten Verbindungen wurde spektroskopisch bestätigt. Massenspektren: Finnigan MAT 8200 und 950 Spektrometer. <sup>1</sup>H,- <sup>13</sup>C-, <sup>29</sup>Si-NMR Spektren: 5–20-prozentige Lösungen in CDCl<sub>3</sub>, TMS (intern), Bruker AVANCE 500 oder 300 Kernresonanzspektrometer.

Bis(1-cyclohexen-3-on-1-oxy)dialkylsilane 1-3

Bei Raumtemp. werden zu einem Gemisch aus 0,1 Mol Dimedon (1, 2) bzw. Cyclohexan-1,3-dion (3) und 0,2 Mol Triethylamin in 100 mL Diethylether 0,05 Mol Dimethyl-(1) bzw. Di-*tert*-butyldichlorsilan (2, 3) gegeben. Nach 3 h Rühren bei Raumtemp. und 1 h Rühren unter Rückfluss wird das Produkt durch eine Fritte vom entstandenen Triethylaminhydrochlorid getrennt und aus THF oder *n*-Hexan kristallisiert.

Bis(5,5-dimethyl-1-cyclohexen-3-on-1-oxy)dimethylsilan (1)

 $\begin{array}{l} C_{18}H_{28}O_4\text{Si }(336,55). \text{ Ausb. } 13,7 \text{ g }(82 \%). -\text{Fp. }65 \text{ }^{\circ}\text{C.} -\text{MS } \text{ (El): } \textit{m/z} \ (\%) = 336 \ (10) \ [\text{M}]^+, 321 \ (54) \ [\text{M}-\text{Me}]^+. -\text{NMR } (\text{CDC1}_3/\text{TMS}): \ ^1\text{H}-\text{NMR: } \delta = 0,41 \ (\text{s, 6H, Si}(\text{C}H_3)_2), \\ 1,03 \ (\text{s, 12H, C}(\text{C}H_3)_2), \ 2,16 \ (\text{s, 4H, C}_{(6)}H_2), \ 2,24 \ (\text{s, 4H, C}_{(4)}H_2), \ 5,44 \ (\text{s, 2H, C}_{(2)}H). -\ ^{13}\text{C-NMR: } \delta = -2,14 \ (\text{Si}(\text{CH}_3)_2), \ 28,19 \ (\textit{C}(\text{CH}_3)_2), \ 32,45 \ (\textit{C}_{(5)}), \ 44,37 \ (\textit{C}_{(6)}), \\ 50,32 \ (\textit{C}_{(4)}), \ 109,61 \ (\textit{C}_{(2)}), \ 171,69 \ (\textit{C}_{(1)}), \ 199,82 \ (\textit{C}_{(3)}). -\ ^{29}\text{Si-NMR: } \delta = -1,51 \ (\textit{Si}(\text{CH}_3)_2). \end{array}$ 

 $Bis(5,5-dimethyl-1-cyclohexen-3-on-1-oxy)di^{-t}butylsilan(2)$ 

 $C_{24}H_{40}O_4Si$  (420,73). Ausb. 17,0 g (81%). – Fp. 68 °C. – MS (El): m/z (%) = 420 (40) [M]<sup>+</sup>, 405 (14) [M–Me]<sup>+</sup>. – NMR (CDCl<sub>3</sub>/TMS): <sup>1</sup>H-NMR:  $\delta$  = 1,07 (s, 18H, SiC( $CH_{3}$ )<sub>3</sub>), 1,08 (s, 12H,  $C(CH_{3}$ )<sub>2</sub>), 2,19 (s, 4H,  $C_{(6)}H_{2}$ ),

Summenformel C24H40O4Si C20H32O4Si C<sub>14</sub>H<sub>20</sub>O<sub>4</sub>Si C24H47FN2O4 Molare Masse [g/mol] 420,65 364,55 280.39 446,64 293(2) Temperatur [K] 133(2)133(2)133(2) 71,073 Wellenlänge [pm] 71.073 71,073 71,073 monoklin orthorhombisch monoklin Kristallsystem monoklin Raumgruppe  $P2_1/c$ Pbca  $P2_1/c$  $P2_1/c$ 2059,7(4) 1417,5(3) 1001,28(16) 1797,5(5) *a* [pm] 1121.9(2) 1629.8(3) 945,53(16) 869,45(11) *b* [pm] 2292,5(4) 1765,8(4) 1482,5(3) 1521,41(8) c [pm]  $\beta$  [°] 108,3(4) 90 94,831(8) 115,630(16)  $V [nm^3]$ 5028,2(16) 4,0793(14) 1,3986(4) 2,6730(9)  $D_{\text{ber.}}$  [Mg/m<sup>3</sup>] 1,111 1,187 1,332 1,110 Abs.-koeffizient [mm<sup>-1</sup>] 0,079 0.135 0.175 0.118 F(000), e 1840 1584 600 984 Kristallgröße [mm<sup>3</sup>]  $0,30 \times 0,30 \times 0,10$  $0,30 \times 0,30 \times 0,20$  $0,50 \times 0,30 \times 0,20$  $0,30\times0,30\times0,30$ Gem.  $\theta$ -Bereich [ $^{\circ}$ ] 1,83 - 27,872,23 - 27,812,04 - 27,582,16-24,82 $-21 \le h \le 21$ , Indexgrenzen hkl  $-25 \le h \le 26$ ,  $-15 \le h \le 18$ ,  $-13 \le h \le 13$ ,  $-13 \le k \le 14$ ,  $-21 \le k \le 21$ ,  $-12 \le k \le 12$ -9 < k < 10,  $-30 \le l \le 29$  $-19 \le l \le 16$  $-23 \le l \le 23$  $-22 \le l \le 22$ Gemessene Reflexe 67235 54091 16780 25985 Unabhängige Reflexe 4808 3215 4586 11835 0,079 0,034 0,065 0,043 Vollständig bis  $\theta = 27.7^{\circ}$ 0,98 0,99 0,99 0,99 Transm. (max/min) 0,97/0,99 0,97/0,96 0,97/0,92 0,98/0,98 Verfeinerte Parameter 174 543 232 316 Goodness-of-fit ( $F^2$ ) 1,005 1,015 1,091 1,056  $R1/wR2[I > 2\sigma(I)]$ 0,050/0,119 0,040/0,109 0,045/0,122 0,048/0,133 R1/wR2 (sämtl. Daten) 0,094/0,141 0,051/0,118 0,045/0,124 0,061/0,140

0,52/-0,26

Tab. 2. Kristalldaten und Strukturverfeinerungen für 2-5.

2,31 (d,  ${}^4J_{\rm HH}$  = 0,8 Hz, 4H,  $C_{(4)}H_2$ ), 5,50 (t,  ${}^4J_{\rm HH}$  = 0,8 Hz, 2H,  $C_{(2)}H$ ).  $-{}^{13}$ C-NMR:  $\delta$  = 21,39 (SiC(CH<sub>3</sub>)<sub>3</sub>), 27,38 (SiC(CH<sub>3</sub>)<sub>3</sub>), 28,32 (C(CH<sub>3</sub>)<sub>2</sub>), 32,45 ( $C_{(5)}$ ), 44,54 ( $C_{(6)}$ H<sub>2</sub>), 50,32 ( $C_{(4)}$ H<sub>2</sub>), 110,86 ( $C_{(2)}$ H), 171,89 ( $C_{(1)}$ ), 199,71 ( $C_{(3)}$ ).  $-{}^{29}$ Si-NMR:  $\delta$  = -14,28 (SiC(CH<sub>3</sub>)<sub>3</sub>).

0,35/-0,31

# Bis(1-cyclohexen-3-on -1-oxy)di-tbutylsilan (3)

 $\Delta \rho_{\text{fin}}$  (max/min) [e Å<sup>-3</sup>]

 $C_{20}H_{32}O_4Si~(364,61)$ . Ausb. 18,2 g (81%). – Fp. 71 °C. – MS (El): m/z (%) = 307 (100) [M]<sup>+</sup>. – NMR (CDCl<sub>3</sub>/TMS): <sup>1</sup>H-NMR: δ = 1,01 (s, 18H, SiC(C $H_3$ )<sub>3</sub>), 1,95 (tt, <sup>3</sup> $J_{HH}$  = 6,3 Hz, <sup>3</sup> $J_{HH}$  = 6,1 Hz 4H,  $C_{(5)}H_2$ ), 2,23 (t, <sup>3</sup> $J_{HH}$  = 6,1 Hz, 4H,  $C_{(6)}H_2$ ), 2,39 (dt, <sup>3</sup> $J_{HH}$  = 6,3 Hz, <sup>4</sup> $J_{HH}$  = 0,8 Hz, 4H,  $C_{(4)}H_2$ ), 5,45 (t, <sup>4</sup> $J_{HH}$  = 0,8 Hz, 2H,  $C_{(2)}H$ ). – <sup>13</sup>C-NMR: δ = 20,99 ( $C_{(5)}H_2$ ), 21,42 (SiC(CH<sub>3</sub>)<sub>3</sub>), 27,27 (SiC(CH<sub>3</sub>)<sub>3</sub>), 30,48 ( $C_{(6)}H_2$ ), 36,17 ( $C_{(4)}H_2$ ), 112,28 ( $C_{(2)}H$ ), 173,80 ( $C_{(1)}$ ), 199,89 ( $C_{(3)}$ ). – <sup>29</sup>Si-NMR: δ = –14,56 (SiC(CH<sub>3</sub>)<sub>2</sub>).

#### Diketon 4

0,2 Mol Cyclohexan-1,3-dion und die äquimolare Menge an Triethylamin werden in 100 mL THF mit 0,1 Mol Dichlordimethylsilan versetzt. Die Reaktionslösung wird anschließend 3 h bei Raumtemp. gerührt und 1 h unter Rückfluss erhitzt. Das Produkt wird durch eine Fritte vom Triethylaminhydrochlorid getrennt und aus *n*-Hexan kristallisiert.

0,50/-0,50

0,55/-0,56

 $C_{14}H_{20}O_4Si~(280,43)$ . Ausb. 8,4 g (30 %). – Fp. 75 °C. – MS (El):  $m/z~(\%) = 280~(14)~[M]^+$ . – NMR (CDCl<sub>3</sub>/TMS):  $^1$ H-NMR:  $\delta = 0,23~(s, 3H, Si(CH_3)_A)$ , 0,25 (s, 3H, Si(CH<sub>3</sub>)<sub>B</sub>), 1,79 (m, 2H,  $C_{(14)}H_2$ ), 1,88 (t t,  $^3J_{HH} = 6,4$  Hz,  $^3J_{HH} = 6,3$  Hz, 2H,  $C_{(5)}H_2$ ), 2,18 (s, 1H,  $C_{(15)}H_A$ ), 2,21 (s, 1H,  $C_{(15)}H_B$ ), 2,33 (t,  $^3J_{HH} = 6,3$  Hz, 2H,  $C_{(6)}H_2$ ), 2,42 (t,  $^3J_{HH} = 6,4$  Hz, 2H,  $C_{(4)}H_2$ ), 2,59 (t,  $^3J_{HH} = 13,4$  Hz, 1H,  $C_{(13)}H_A$ ), 2,60 (t,  $^3J_{HH} = 13,4$  Hz, 1H,  $C_{(13)}H_B$ ), 3,49 ( $C_{(11)}H_A$ ), 3,52 ( $C_{(11)}H_B$ ). –  $^{13}C$ -NMR:  $\delta = -0,52~(Si(CH_3)_A)$ , –0,45 (Si(CH<sub>3</sub>)<sub>B</sub>), 20,05 ( $C_{(5)}H_2$ ), 20,49 ( $C_{(14)}H_2$ ), 32,13 (CH<sub>(2)</sub>), 35,17 (CH<sub>(2)</sub>), 38,44 (CH<sub>(2)</sub>), 39,76 (CH<sub>(2)</sub>), 40,35 (CH<sub>(2)</sub>), 79,62 ( $C_{(7)}$ ), 119,87 ( $C_{(2)}$ ), 170,52 ( $C_{(1)}$ ), 197,66 ( $C_{(12)}$ ), 210,81 ( $C_{(3)}$ ). –  $^{29}Si$ -NMR:  $\delta = -1,02~(SiC(CH<sub>3</sub>)_2)$ .

Bis(di- $^ipropylammonium)$ -(1-cyclohexen-3-on-1-olat) - HF-Addukt (5)

0,05 Mol Diisopropylamin in 200 mL *n*-Hexan werden mit der äquimolaren Menge an *n*-Butyllithium (15 proz. in *n*-Hexan) metalliert. Die Lösung wird 1 h bei Raumtemp. gerührt und 2 h unter Rückfluss erhitzt. Das entstandene Li-

thiumdiisopropylamid sowie 0,05 Mol Cyclohexan-1,3-dion werden jeweils auf -78 °C gekühlt und dann zügig zusammengegeben. Nachdem das Gemisch auf -20 °C erwärmt wurde, werden 0,05 Mol *tert*-Butyltrifluorsilan zugetropft. Nach einstündigem Rühren wird das Reaktionsgemisch auf Raumtemp. erwärmt und anschließend 2 h unter Rückfluss erhitzt. In der Zentrifuge wird die Reaktionslösung vom entstandenen Feststoff getrennt. Aus der Lösung kristallisiert Verbindung 5.

 $C_{24}H_{47}FN_2O_4$  (446,65). Ausb. 7,1 g (32%). – Fp. 78 °C. – NMR (CDCl<sub>3</sub>/TMS): H-NMR:  $\delta$  = 1,29 (d,  ${}^3J_{\rm HH}$  = 6,5 Hz, 12 H, CH(C $H_3$ )<sub>2</sub>), 1,93 (t,  ${}^3J_{\rm HH}$  = 6,3 Hz, 4H, C<sub>(5)</sub> $H_2$ ), 2,34 (breit) (4H, C<sub>(6)</sub> $H_2$ ), 2,73 (4H, C<sub>(4)</sub> $H_2$ ), 3,27 (sept,  ${}^3J_{\rm HH}$  = 6,5 Hz, 2H, CH(CH<sub>3</sub>)<sub>2</sub>), 4,83 (2H, C<sub>(2)</sub>H). –  ${}^{13}$ C-NMR:  $\delta$  = 19,14 (CH( $H_3$ )<sub>2</sub>), 21,56 ( $H_3$ ),

Röntgenstrukturanalysen von 2, 3, 4 und 5

Die Datensammlung erfolgte auf einem Siemens-Stoe-Vierkreisdiffraktometer mit graphitmonochromatisierter  $MoK_{\alpha}$ -Strahlung ( $\lambda$  = 71,069 pm). Die Strukturen wurden mit Direkten Methoden gelöst und nach der Methode der kleinsten Fehlerquadrate an  $F^2$  verfeinert (SHELXL-97 [9]). Die kristallographischen Daten und Angaben zur Strukturanalyse sind in Tab. 2 zusammengefasst.

CCDC 650602 (2), 650603 (3), 650604 (4) und 650601 enthalten die beim Cambridge Crystallographic Data Centre hinterlegten Kristallstrukturdaten. Anforderung: www.ccdc.cam.ac.uk/data\_request/cif.

<sup>25,47 (</sup> $C_{(6)}$ ), 34,34 ( $C_{(4)}$ ), 46,00 ( $CH(CH_3)_2$ ), 102.60 ( $C_{(1)}$ ), 194,18 ( $C_{(3)}$ ). – <sup>19</sup>F-NMR:  $\delta$  = 34,17.

<sup>[1]</sup> A. J. Kresge, Pure Appl. Chem. 1991, 63, 213.

<sup>[2]</sup> J. Clayden, N. Greeves, S. Warren, P. Wothers, *Organic Chemistry*, Oxford University Press, Oxford, **2001**.

<sup>[3]</sup> S. Torkelson, C. Ainsworth, Synthesis 1976, 722.

<sup>[4]</sup> H. O. House, Modern Synthetic Reactions, W. A. Benjamin, Menlo Park, 1972.

<sup>[5]</sup> J. d'Angelo, Tetrahedron 1976, 32, 2979.

<sup>[6]</sup> R. D. Walkup, Tetrahedron Lett. 1987, 28, 511.

<sup>[7]</sup> T. Büschen, W. Dietz, U. Klingebiel, M. Noltemeyer, Y. Schwerdtfeger, Z. Naturforsch. 2007, 62b, 1358.

<sup>[8]</sup> E. Hengge, H.-D. Pletka, Monatsh. Chem. 1973, 104, 1071.

<sup>[9]</sup> G. M. Sheldrick, SHELXL-97, Program for the Refinement of Crystal Structures, University of Göttingen, Göttingen (Germany) 1997.